

粒子の非定常運動について

京都大学防災研究所 正会員 土屋義人
京都大学大学院 学生会員 渡辺健介

1. 緒言 砂粒子の移動が工学的観点から対象とされるのは、河川・海岸における流砂・漂砂などの水中での運動と、砂丘における空気中の飛砂運動とに大別できる。これら現象は、同じ粒子の運動にもかかわらず、流体の比重・粘性が互いに大きな差異を持つため、また現われている運動形態が相互に異なるために、従来は別々に解説され把握されてきた。しかし砂粒子の運動に作用する因子である水・空気の物理的性質に大きな差異があるとしてもこれが原因となる現象の相異は比重・粘性の関数として変化するものと考えられる。したがって物理的性質特に比重と粘性の差異によって生じる現象の変化がすべて説明されるならば、流砂と飛砂の運動は統一的に把握されることが可能と考えられる。最近、水流による粒子運動に飛砂の運動形態である saltation を仮定して Yalin の研究や飛砂量公式に Einstein の掃流砂量公式を用い、衝突による運動量の増加を補正した Kadib の研究が発表され、飛砂と飛砂の関連付けが試みられるようになつた。しかし相互の関連付けおよび飛砂・飛砂運動の高精度での定性的・定量的把握は、まだばほほ仮定や実測による飛砂量から逆算することによつて求めらるかに補正係数からのみ明らかになるものではなく、単体粒子の流体中での運動に關する十分な把握が必要であろう。一方飛砂と飛砂の運動は集団としての運動が主体であり、その現象は流体と移動砂面での境界における相互作用の結果とも考えられる。著者らは砂粒の運動問題が、單一粒子の十分な把握の後に統計的な処理をほどこすことによつて解決の糸口に近づくものと考え、本報告において單一粒子の非定常沈降と反対についアニ二三の実験結果とともに若干の考察を試みる。

2. 粒子の非定常沈降における Bassett 項の影響 砂粒の運動方程式における問題とされるのは抵抗の項である。従来加速度と粘性による抵抗が考慮されており、これは加速度の履歴による抵抗すなわち Bassett 項を考慮すると、Stokes の法則が適用される範囲において、沈降に與する運動方程式は次式のようになる。

$$\frac{d\bar{w}}{dt} = 18 - 18 \bar{w} - a \int_0^t \frac{\frac{d\bar{w}}{dt'}}{\sqrt{t-t'}} dt' \quad (1)$$

ここで、 $\bar{w} = w/w_0$ 、 $t = vt/d^2(\rho_f + \frac{1}{2})$ 、 $a = g/(\rho_f + \frac{1}{2})^{1/2}\sqrt{\mu}$ 、 w : 砂粒の沈降速度、 μ : 粘性係数、 ρ : 粒子の密度、 ρ_f : 流体の密度、 v : 時間、 d : 粒子の直径であり、右辺の三項が Bassett 項である。(1)式の解は Brush らによつて解かれているが、Bassett 項の影響がわかるよう書くと、次のようになる。

$$\bar{w} = 1 - \frac{6\sqrt{2}}{\sqrt{72-a^2\pi}} \exp\left(-\frac{72-a^2\pi}{4}t\right) \left[\exp\left(\frac{a^2\pi}{4}\right) \cdot \cos\left(\frac{a\sqrt{72-a^2\pi}}{2}t + \tan^{-1}(a\sqrt{\pi}/\sqrt{72-a^2\pi})\right) \cdot \left(1 - \frac{2}{\sqrt{\pi}} \int_0^{\frac{a\sqrt{72-a^2\pi}}{2}} e^{-2x^2} dx\right) - \frac{2\sqrt{2}}{\sqrt{\pi}} \int_0^{\frac{a\sqrt{72-a^2\pi}}{2}} e^{x^2} \sin\left(a\sqrt{\pi}\left(x - \frac{\sqrt{72-a^2\pi}}{2}\right)t + \tan^{-1}(a\sqrt{\pi}/\sqrt{72-a^2\pi})\right) dx \right] \quad (2)$$

(2)式について、Brush らのような級数ではなく、 t の大まかな値に対しても検討するために、

$\alpha=0$ ($\gamma/\rho=\infty$) と $\alpha=2.86$ ($\gamma/\rho=2.65$) に関する直接数値計算結果が図-1 である。この場合 $\alpha=2.86$ は水中での砂粒に対応する。Basset 項の定義から γ/ρ の値が小さくなるにつれての影響は下まくなり、一方空気中の砂粒の場合には $\gamma/\rho \approx 10^3$ であるから無視されることがわかる。このことは流砂の運動開始のようすを静止から急に大きさ速度を得る場合に重大な影響を与える因子となることが予想される。図-1 の点は Stokes の範囲をわずかはずしてところでの Moerman の実験値をプロットしたものであり、数値計算の妥当性をほぼ示している。図-2 は $\gamma/\rho=1.12$ で $d=0.960, 0.475, 0.400 \text{ cm}$ のナロン球を水中と空気中とで落下させたものをストロボ装置を用いて写真撮影させて実験結果であり、図中の曲線は速度の 2乗に比例する流体抵抗を仮定した場合の通常の理論曲線である。実験値はいずれも Stokes 範囲を大きくはずれたりのであり、図-1 についての考察はできないが、非定常落下の距離と時間が長い空気中での実験値 ($Re=2900, 10800$) は加速度と速度の 2乗に比例する抵抗による従来の運動方程式にほぼ一致し、Basset 項の影響は無視できるとして図-1 の結論にも一致する。水中でのものは粒子の比重が小さくなれども非定常落下の距離が短かく、精度の良い実験値が得らわれずかようは抵抗について考察することはできない。

3. 粒子の衝突における反はつ係数 作砂運動は砂粒が床面との衝突によって saltation するとして把握されている。一方流砂については一般に衝突は無視され、これを考へているのは土屋らの研究があるのみと言ってよい。表-1 には前記のナロン球と $\gamma/\rho=7.86, d=0.950, 0.475, 0.395 \text{ cm}$ の金属性球を用い、水中と空気中におけるおおいた厚さ 0.85 cm のガラス板に粒子を自由落下後衝突させたものを、衝突後と前の速度比である反はつ係数を示して。水中でのナロン球は反はつ後の上昇距離がきわめて小さく解析できず実験値として使えないかった。こゆうの値は同一条件のもとに行なった数個の実験値の平均値を示しているが、同一条件での空気中および水中での値には若干差があり、水中の方が約 20% 程度小さくなることが認められよう。たゞし、実験値が少ないので明確な結論はむずかしいが、Basset 項と同様に空気中および水中における粒子運動の相異点の一として考えるべきようと思われる。

以上述べた実験結果から、流砂と飛砂現象の本質的な相異点として、粒子の運動開始時における抵抗の問題すなはち Basset 項の影響と saltation によって砂面に衝突する際の反はつ係数の相異をあげることができる。さらに、実験を追加して、この相異点の阐明をはかるつもりである。

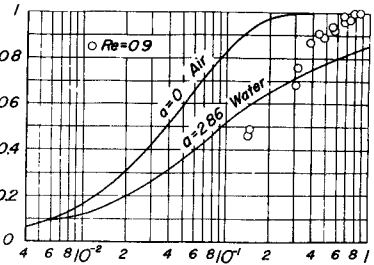


図-1 α による沈降速度の変化

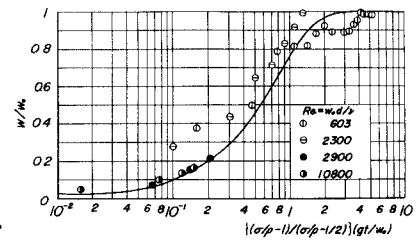


図-2 沈降速度と時間の関係
運動方程式にほぼ一致し、
Basset 項の影響は無視できるとして図-1 の結論にも一致する。

	粒径 (cm)	0.950	0.475	0.395
金属性球(空気中)		0.965	0.903	
金属性球(水中)		0.781	0.765	0.722
	粒径 (cm)	0.960	0.475	0.400
ナロン球(空気中)		0.723	0.734	0.721

表-1 反はつ係数